

УДК 539.3

Применение метода ГИУ для решения краевых задач трехмерных динамических теорий вязко- и пороупругости

А.А. Белов, Л.А. Игумнов, И.С. Карелин, С.Ю. Литвинчук

Аннотация

Представлены результаты расчетов динамического состояния вязкоупругих тел на основе метода граничных элементов (МГЭ) в сочетании с методами квадратур сверток и Дурбина. Решение вязкоупругих краевых задач в трехмерной постановке в явном времени, организовано без использования шаговых процедур. Рассматривается модель пористой среды с двухфазной внутренней структурой, предложенная Био. Представлены результаты расчетов динамического состояния конечных пороупругих тел на основе МГЭ. Представлены численные эксперименты.

Ключевые слова

граничные интегральные уравнения; граничный элемент; вязкоупругость; пороупругость.

Введение

Нестационарные динамические задачи теории вязкоупругости решаются методом граничных интегральных уравнений (ГИУ). Представлена методика численного решения систем граничных интегральных уравнений прямого подхода в сочетании с преобразованием Лапласа и методом Дурбина для расчета неизвестных волновых полей трехмерных вязкоупругих составных тел, и представлен подход метода граничных элементов с явным учетом переменной времени: использована гранично-элементная техника построения дискретного аналога в сочетании с методом квадратур сверток. Вязкоупругие свойства

материалов описываются соотношениями классических регулярных моделей (Максвелла, Фойгта, стандартного вязкоупругого тела) или слабосингулярной степенной моделью.

Исследование волновых процессов в пороупругих телах представляет научный и практический интерес. Для широкого диапазона насыщенных материалов упругая и вязкоупругая теории являются грубым приближением при исследовании распространения волн. Для учета пористости использована теория М. Био [1, 2]. Вопросами распространения волн в пористых насыщенных средах в последние годы занимались Н.С. Городецкая (1998), Н. Дунин, Д. Михайлов, В. Николаевский (2002), R. Ababou и др. (2002), D.F. Aldridge и др. (2005), J. Jockey и D. Smenlders (2005), G. Chao и др. (2005), H.F. Wang (2000) и многие другие. Вопросы, связанные с построением интегральных представлений решений в полной строгой математической постановке, являются актуальными. Несмотря на то, что в литературе представлены варианты сингулярных граничных интегральных уравнений [3, 4], имеются лишь единичные гранично-элементные решения краевых динамических задач пороупругости. В работе используются модифицированные интегральные представления волновых полей в пороупругих средах, полученные ранее М. Schanz [3]. На основе новых ГИУ пороупругости получены численные гранично-элементные решения прямых трехмерных динамических задач.

1. Постановка задачи

Рассматривается кусочно-однородное тело Ω в трехмерном евклидовом пространстве R^3 с декартовой системой координат $Ox_1x_2x_3$. Границу тела обозначим через Γ , границы однородных частей Ω_k ($k = 1, \dots, K$) – через Γ_k . Предполагается, что Ω_k являются изотропными вязкоупругими телами [5, 6]. Введем следующие обозначения для параметров материала каждой однородной части (подконструкции) Ω_k : ρ^k – плотность материала, $\lambda^k(t)$ и $\mu^k(t)$ — функции Ламе материала. Динамическое состояние каждой части тела Ω_k описывается следующей системой дифференциальных уравнений в перемещениях:

$$\mu^k(t) * \Delta u^k(x, t) + (\lambda^k(t) + \mu^k(t)) * \text{grad div } u^k(x, t) = \rho^k \ddot{u}^k(x, t), \quad (1)$$

где символ "*" означает свертку Стильбеса по времени t . В уравнениях (1) $u^k(x, t)$ – вектор перемещений точки $x = (x_1, x_2, x_3)$ в момент времени t . Физические и геометрические соотношения имеют вид:

$$\sigma_{ij} = \delta_{ij} \lambda * \varepsilon_{kk} + 2\mu * \varepsilon_{ij}, \quad \varepsilon_{ij} = \frac{1}{2} \left(\frac{\partial u_j}{\partial x_i} + \frac{\partial u_i}{\partial x_j} \right),$$

где $\sigma_{ij}, \varepsilon_{ij}, i = \overline{1,3}, j = \overline{1,3}$ – тензоры напряжений и деформаций.

Пусть вектор перемещений и функции Ламе материала удовлетворяют условиям:
 $u^k(x,0) = \dot{u}^k(x,0) = 0$, $\mu(t-\tau) = 0$, $\lambda(t-\tau) = 0$, где $t < \tau$, $\lim_{t \rightarrow 0} \dot{\mu}(t) = 0$, $\lim_{t \rightarrow 0} \dot{\lambda}(t) = 0$.

Конкретный вид функций $\mu(t)$ и $\lambda(t)$ определяется вязкоупругой моделью материала. Будем рассматривать случай пропорциональных функций памяти, тогда достаточно описать физические соотношения, к примеру, для случая $i \neq j$:

$$\sigma_{ij} = 2\mu * \varepsilon_{ij} = 2 \int_0^t G(t-\tau) d\varepsilon_{ij}(\tau), \quad \frac{dG(t)}{dt} = 1 - R(t), \quad R(t) \equiv K(t) - \int_0^t K(t-\tau)K(\tau) d\tau + \dots,$$

$$J(t) = 1 + K(t),$$

где $G(t)$ – функция памяти материала, $R(t), K(t)$ – ядра релаксации и ползучести материала. Кроме того, пусть отношение значения модуля на бесконечности к значению модуля в начальный момент (для регулярных моделей) определяется параметром $w = G(\infty)/G(0)$.

Введем вектор напряжений $t_n(x,t)$ в точке x на элементарной площадке с единичной нормалью $n(x)$:

$$t_n(x,t) \equiv T_{n(x)}u(x,t) = n(x)\lambda(t) * \operatorname{div} u(x,t) + 2\mu(t) * \frac{\partial u(x,t)}{\partial n(x)} + \mu(t) * [n(x) \times \operatorname{rot} u(x,t)]. \quad (2)$$

Если $x \in \Gamma_k$, то под $n(x)$ будем понимать единичный вектор внешней (по отношению к Ω_k) нормали к границе Γ_k . Вектор напряжений $t_n(x,t) = (t_1, t_2, t_3)$ на границе Γ_k , соответствующий этой нормали, обозначим через $t^k(x,t)$.

Будем рассматривать следующие типы граничных условий для Ω_k :

$$u_l^k(x,t) = f_l^k(x,t), \quad x \in \Gamma^u \cap \Gamma_k; \quad t_l^k(x,t) = g_l^k(x,t), \quad x \in \Gamma^\sigma \cap \Gamma_k;$$

$$u_l^k(x,t) = u_l^s(x,t), \quad t_l^k(x,t) = -t_l^s(x,t), \quad x \in \Gamma'_{ks}.$$

Здесь Γ^u и Γ^σ – части границы Γ тела Ω , по которым заданы соответственно перемещения и поверхностные силы; Γ'_{ks} – граница жесткого контакта частей Ω_k и Ω_s . Функции $f_l^k(x,t)$ и $g_l^k(x,t)$ являются заданными функциями координат и времени.

Математическая модель пороупругой среды

Система дифференциальных уравнений в преобразованиях Лапласа (параметр s) для смещения \tilde{u}_i и порового давления \tilde{p} имеет следующий вид [3]:

$$\mu \tilde{u}_{i,jj} + \left(K + \frac{1}{3} \mu \right) \tilde{u}_{j,ij} - (\alpha - \beta) \tilde{p}_{,i} - s^2 (\rho - \beta \rho_f) \tilde{u}_i = -\tilde{F}_i,$$

$$\frac{\beta}{s\rho_f} \tilde{p}_{,ii} - \frac{\phi^2 s}{R} \tilde{p} - (\alpha - \beta) s \tilde{u}_{i,i} = -\tilde{a}, \quad \beta = \frac{k\rho_f \phi^2 s^2}{\phi^2 s + s^2 k(\rho_a + \phi\rho_f)},$$

где μ, K – константы упругости, ϕ – пористость, k – проницаемость, α – эффективный коэффициент напряжений, ρ, ρ_a, ρ_f – плотности пористого скелета, присоединенной массы и жидкой среды, \tilde{F}_i, \tilde{a} – плотности источников.

Фундаментальное решение для этой системы построено в [3], однако при построении матриц сингулярных решений допущены ошибки, что, в свою очередь, привело к ошибочному интегральному представлению и ГИУ для порового давления.

2. Интегральная формулировка

Применим к исходным уравнениям интегральное преобразование Лапласа:

$$f(s) = \int_0^{\infty} f(t) e^{-ist} dt,$$

где s – параметр преобразования Лапласа.

В качестве метода решения будем использовать метод граничных интегральных уравнений [5], в основе которого лежит сведение краевой задачи для дифференциального уравнения движения к интегральному уравнению относительно граничных функций.

Вектор перемещений во внутренних точках области связан с граничными значениями перемещений и усилий следующим образом.

$$\bar{u}_l^k(x, s) = \int_{\Gamma_k} U_{lj}(x, y, s) \bar{t}_j^k(y, s) d_y S - \int_{\Gamma_k} T_{lj}(x, y, s) \bar{u}_j^k(y, s) d_y S, \quad l = 1, 2, 3, \quad x \in \Omega_k. \quad (3)$$

Здесь U_{lj} и T_{lj} – соответственно компоненты тензоров фундаментальных и сингулярных решений уравнения (1). Тензор T выражается из (2) через тензор U с помощью оператора напряжений T_n

$T(x, y, s) = [T_{n(x)} U(x, y, s)]'$, где верхний значок «'» означает транспонирование.

Формула (3) дает следующее ГИУ:

$$c_{lj}(x) \bar{u}_j^k(x, s) + \int_{\Gamma_k} T_{lj}(x, y, s) \bar{u}_j^k(y, s) d_y S = \int_{\Gamma_k} U_{lj}(x - y, s) \bar{t}_j^k(y, s) d_y S, \quad l = 1, 2, 3, \quad x \in \Gamma_k. \quad (4)$$

Интеграл в левой части (4) является сингулярным, т.е. понимается в смысле главного значения по Коши, а $c_{lj}(x)$ – известный коэффициент при внеинтегральном члене. Если в точке x поверхность имеет единственную касательную плоскость, то $c_{lj}(x) = \delta_{lj} / 2$. ГИУ (4) позволяет разработать эффективную численную методику для определения неизвестных

амплитуд граничных перемещений и поверхностных сил. Решением исходной начально-краевой задачи будет вектор-функция $u(x, t)$, полученная путем применения к решению (3), (4) обратного преобразования Лапласа:

$$f(t) = \frac{1}{2\pi i} \int_{\alpha - i\infty}^{\alpha + i\infty} f(s) e^{ist} ds \quad (5)$$

Для численного обращения (5) будем использовать алгоритм, предложенный Дурбиным [7].

Граничные интегральные уравнения пороупругости

Интегральное представление прямого подхода имеет следующий вид:

$$\begin{bmatrix} \tilde{u}_j \\ \tilde{p} \end{bmatrix} = \int_{\Gamma} \begin{bmatrix} \tilde{U}_{ij}^s & -\tilde{P}_j^s \\ \tilde{U}_i^f & -\tilde{P}^f \end{bmatrix} \begin{bmatrix} \tilde{t}_i \\ \tilde{q} \end{bmatrix} d\Gamma - \int_{\Gamma} \begin{bmatrix} \tilde{T}_{ij}^s & -\tilde{Q}_j^s \\ \tilde{T}_i^f & -\tilde{Q}^f \end{bmatrix} \begin{bmatrix} \tilde{u}_i \\ \tilde{p} \end{bmatrix} d\Gamma,$$

Компоненты матриц – ядер интегрального представления – можно найти в [3, 8].

Ядра интегральных представлений допускают следующее выделение особенностей:

$$\hat{P}_i^s = O(r^0), \quad \hat{U}_i^f = O(r^0), \quad \hat{P}^f = \frac{\rho_f s}{4\pi\beta r} + O(r^0), \quad \hat{U}_{ij}^s = \frac{1+\nu}{8\pi E(1-\nu)} \{r_i r_j + \delta_{ij}(3-4\nu)\} \frac{1}{r} + O(r^0),$$

$$\hat{Q}_j^s = \frac{1+\nu}{8\pi E(1-\nu)} \{\alpha(1-2\nu)(r_{,n} r_{,j} - n_j) - 2\beta(1-\nu)(r_{,n} r_{,j} + n_j)\} \frac{1}{r} + O(r^0),$$

$$\hat{T}_i^f = \frac{\rho_f s^2}{8\pi\beta} \left\{ (\alpha - \beta) \frac{1-2\nu}{1-\nu} r_i r_{,j} + n_i \frac{\alpha + \beta(1-2\nu)}{1-\nu} \right\} \frac{1}{r} + O(r^0),$$

$$\hat{T}_{ij}^s = \frac{-(1-2\nu)\delta_{ij} + 3r_i r_{,j}}{8\pi(1-\nu)r^2} r_{,n} + (1-2\nu)(r_{,j} n_i - r_{,i} n_j) + O(r^0), \quad \hat{Q}^f = -\frac{r_{,n}}{4\pi r^2} + O(r^0).$$

Итоговая система ГИУ примет вид:

$$\begin{bmatrix} c_{ij}(y) & 0 \\ 0 & c(y) \end{bmatrix} \begin{bmatrix} u_i(t, x) \\ p(t, x) \end{bmatrix} + \int_0^t \int_{\Gamma} \begin{bmatrix} T_{ij}^s(t-\tau, y, x) & Q_j^s(t-\tau, y, x) \\ T_i^f(t-\tau, y, x) & Q^f(t-\tau, y, x) \end{bmatrix} \begin{bmatrix} u_i(\tau, x) \\ p(\tau, x) \end{bmatrix} d\Gamma d\tau = \\ \int_0^t \int_{\Gamma} \begin{bmatrix} U_{ij}^s(t-\tau, y, x) & -P_j^s(t-\tau, y, x) \\ U_i^f(t-\tau, y, x) & -P^f(t-\tau, y, x) \end{bmatrix} \begin{bmatrix} t_i(\tau, x) \\ q(\tau, x) \end{bmatrix} d\Gamma d\tau.$$

На основе этой системы строится дискретный аналог, детальное описание которого можно найти в [5].

3. Численные эксперименты

Задача о торцевой ударной силе по призматическому телу с жестко закрепленным концом

Полагалось $p = 1 \text{ Н/м}^2$ (рис. 1), параметры материала: $\rho = 7850 \text{ кг/м}^3$, $\nu = 0$, $E = 2,11 \cdot 10^{11} \text{ Па}$. Задача имеет аналитическое решение, и известно ее МГЭ-решение в

сочетании с методом квадратур свертки [3]. Использована равномерная сетка с 224 ГЭ. Форма нагрузки: $\bar{p}(t) = H(t)$, $t \geq 0$.

На рисунках кривыми с маркерами представлены кривые аналитических решений для соответствующих параметров вязкости. В [3] приведены результаты для упругого случая с использованием трех неравномерных гранично-элементных сеток из 324, 112 и 42 треугольных граничных элементов. Расчеты показали, что для достижения не меньшей точности, чем в [3], достаточно взять равномерную сетку с 224 граничными элементами.

Поведение перемещений для модели Кельвина–Фойгта продемонстрировано на рис. 2 (для кривой 1 $\beta = 500$; для кривой 2 $\beta = 100$; для кривой 3 $\beta = 3$; для кривой 4 $\beta = 0,5$). С уменьшением характерного времени ползучести τ_ϵ или ростом $\beta = 1/\tau_\epsilon$ материал все более отчетливо начинает вести себя как упругий материал на длительных модулях. При $\beta \rightarrow \infty$ ($\tau_\epsilon \rightarrow 0$) получаем чисто упругий случай.

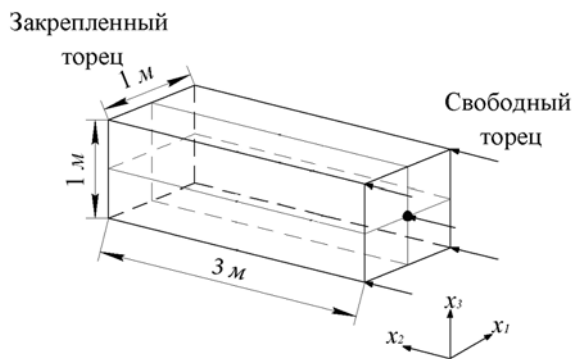


Рис. 1.

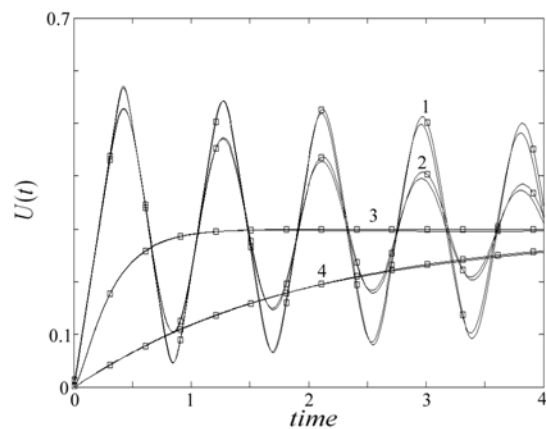


Рис. 2.

Поведение перемещений для модели стандартного вязкоупругого тела продемонстрировано на рис. 3 (для кривой 1 $\gamma=0,01$; для кривой 2 $\gamma=0,3$; для кривой 3 $\gamma=10$; для кривой 4 $\gamma=100$). С уменьшением характерных времен релаксации τ_σ или ростом $\gamma = 1/\tau_\sigma$ материал все более отчетливо начинает вести себя как упругий на длительных модулях. На рис. 3 показано, как перестраивается картина отклика в перемещениях. Отклик перемещений на длительных модулях имеет и большую амплитуду, и больший период колебаний. Перемещения для степенной модели показаны на рис. 4 (при $k=17$ для кривой 1 $\alpha=0,95$; для кривой 2 $\alpha=0,7$; для кривой 3 $\alpha=0,3$). С приближением наследственного ядра к ядру Больцмана отклик и качественно и количественно описывает упругий отклик.

Соответствующий отклик напряжений в упругом случае, полученный для равномерной ГЭ-сетки с 224 элементами, представлен на рис. 5. Аналитическое решение

(кривая 1) сравнивается с результатами ряда исследований, полученных в [3] на основе метода квадратур сверток и МГЭ, с адаптированной сеткой из 324 треугольных ГЭ (кривая 3) и с результатами, построенными здесь, на равномерной сетке из 224 четырехугольных ГЭ (кривая 2). Влияние вязкости на отклик напряжений, снятых с жестко закрепленного конца, представлено на рис. 6-8 соответственно для моделей Кельвина–Фойгта (для кривой 1 $\beta = 0,05$; для кривой 2 $\beta = 3$; для кривой 3 $\beta = 100$; для кривой 4 $\beta = 500$), стандартного вязкоупругого тела (для кривой 1 $\gamma = 0,01$; для кривой 2 $\gamma = 0,3$; для кривой 3 $\gamma = 10$; для кривой 4 $\gamma = 100$) и степенной модели (при $k = 17$ для кривой 1 $\alpha = 0,3$; для кривой 2 $\alpha = 0,7$; для кривой 3 $\alpha = 0,95$). Тенденция, выявленная на картинах полей перемещений, прослеживается и в картинах полей напряжений.

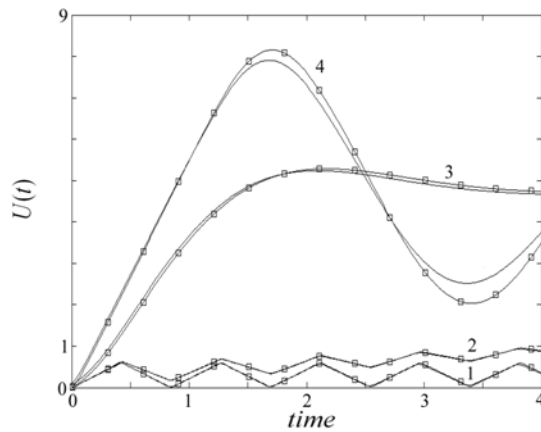


Рис. 3.

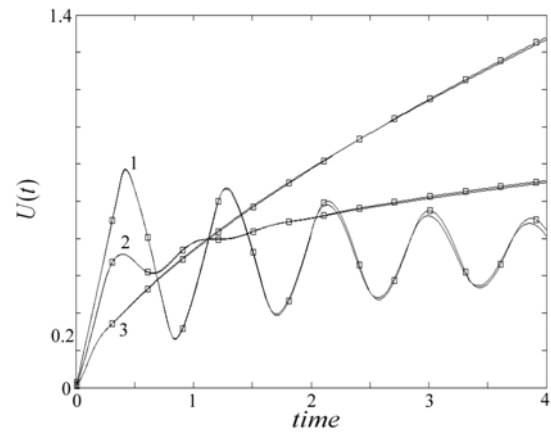


Рис. 4.

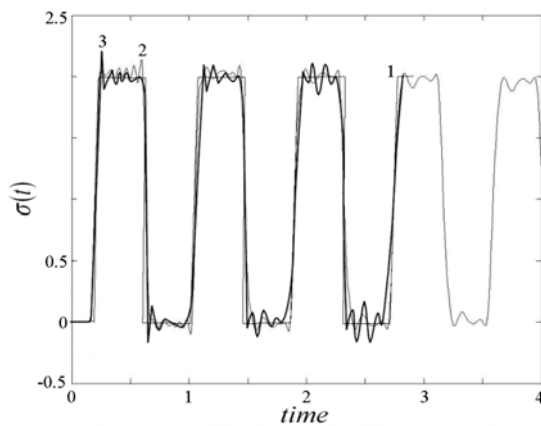


Рис. 5.

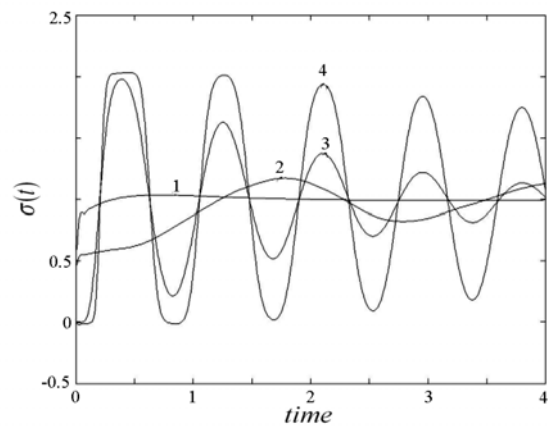


Рис. 6.

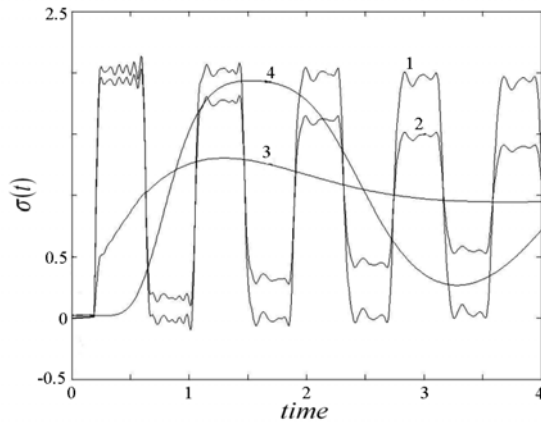


Рис. 7.

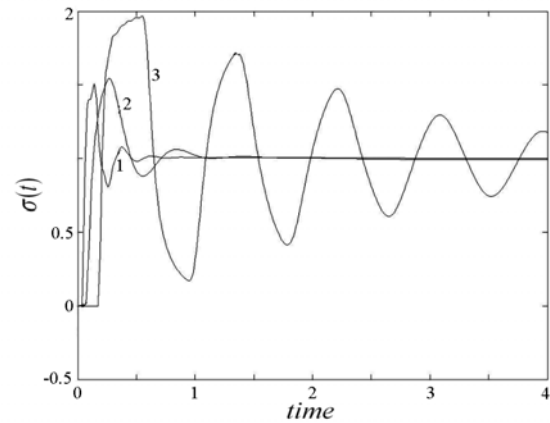


Рис. 8.

Решение пороупругой задачи

Рассмотрена задача, изображенная на рис. 13, со следующими параметрами материала: $K = 8 \cdot 10^9 \text{ Н/м}^2$; $G = 6 \cdot 10^9 \text{ Н/м}^2$; $R = 4,7 \cdot 10^8 \text{ Н/м}^2$; $k = 1,9 \cdot 10^{-10} \text{ м}^4 / \text{Нс}$; $\rho = 2458 \text{ кг/м}^3$; $\rho_f = 1000 \text{ кг/м}^3$; $\phi = 0,19$; $\alpha = 0,867$. Нагрузка, действующая на тело, $t_2 = 1 \text{ Н/м}^2$. Граничные условия в области Лапласа имеют вид: $\tilde{u}_2(y_2 = 0) = 0$, $\tilde{q}_2(y_2 = 0) = 0$, $\tilde{\sigma}_2(y_2 = l) = -1/s$, $\tilde{p}(y_2 = l) = 0$.

Гранично-элементная сетка, состоит из 504 элементов. Результаты расчетов перемещений и давлений приведены на рис. 9, 10 соответственно. Графики, изображенные сплошной линией, соответствуют точному решению, штриховой – решениям, полученным по новым ядрам, пунктирной – по ядрам из [3].

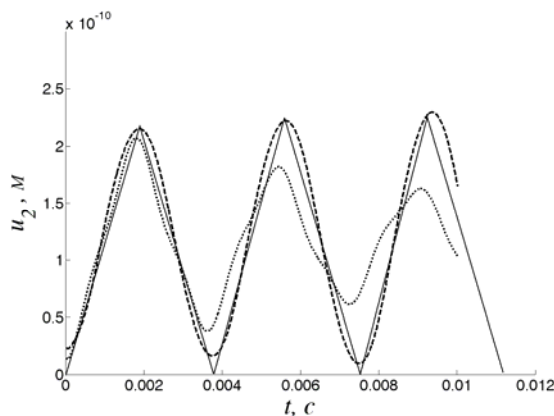


Рис. 9.

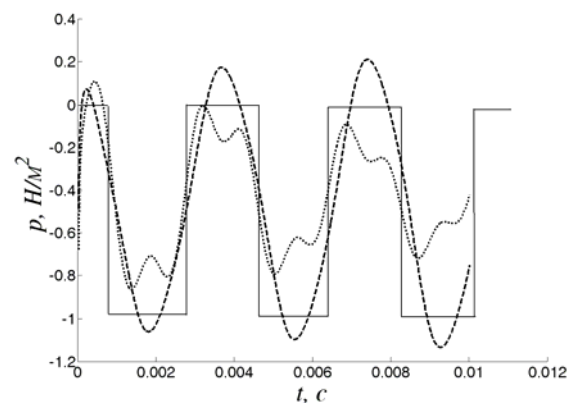


Рис. 10.

Задача о действии скачка давления на торец составного призматического тела

Рассмотрим задачу о торцевом ударе силой $P(t) = 1 \text{ Н/м}^2$ составного призматического тела с жестко закрепленным концом (рис. 11). Эта задача имеет аналитические решения как для упругой так и для вязкоупругих моделей. Для сравнения

численных результатов с аналитическими рассмотрим подобласти с одинаковыми параметрами материала: $E = 2,11 \cdot 10^{11} \text{ Н/м}^2$; $\nu = 0,0$; $\rho = 7850 \text{ кг/м}^3$.

Задача решается в безразмерных величинах:

$$\bar{x} = x/a, \quad \bar{u} = Eu/(p_0 a), \quad \bar{p} = p/p_0, \quad \bar{t} = c_2 t/a, \quad \bar{\sigma} = \sigma/p_0, \quad \text{где } a=10, \quad p_0=1 \text{ Н/м}^2.$$

Безразмерные параметры получились следующие: $\bar{E} = 1$; $\bar{\nu} = 0$; $\bar{\rho} = 0,5$.

Гранично-элементная сетка представлена на рис. 12. Каждая из подобластей содержит по 72 элемента и 88 точек на четверти сетки, таким образом, вся геометрическая модель содержит 576 элементов.

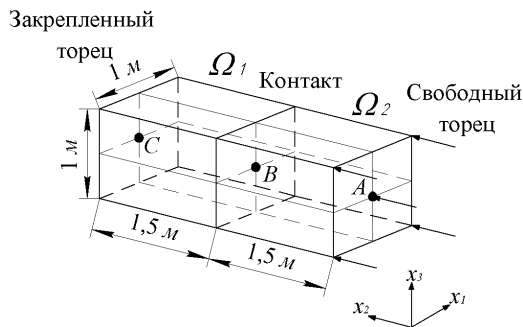


Рис. 11.

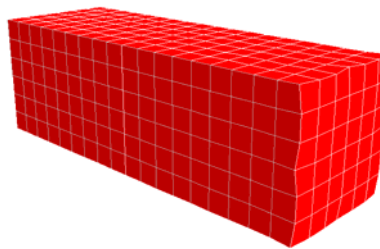


Рис. 12.

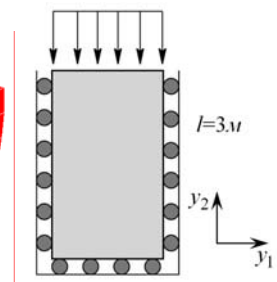


Рис. 13.

На рис. 14-15 приведено сравнение аналитического упругого решения (штриховая линия) с численными ГЭ-результатами, полученными на основе метода квадратур сверток (кривая 1) и на основе метода Дурбина (кривая 2). На рис. 14 приведены графики напряжений (в области контакта подобластей), а на рис. 15 графики перемещений (в области контакта подобластей).

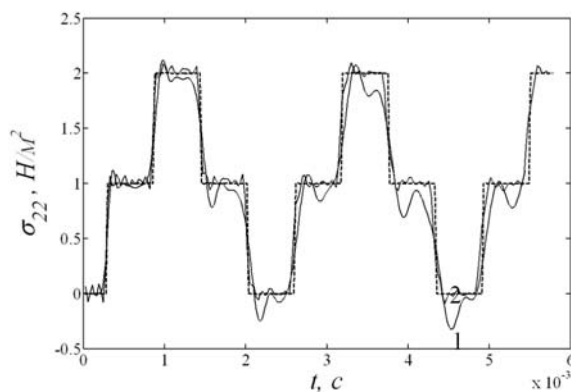


Рис. 14.

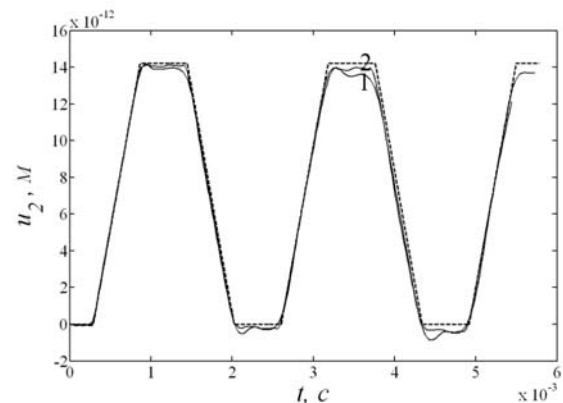


Рис. 15.

На рис. 16 приведены графики напряжений для модели Кельвина-Фойгта при различных значениях параметра вязкости β в областях заделки, на рис. 17 приведены графики перемещений на свободном конце консоли. На рис. 18 приведены графики напряжений для модели стандартного вязкоупругого тела при различных значениях

параметра вязкости γ в областях заделки, на рис. 19 приведены графики перемещений на свободном конце консоли. На рис. 20 приведены графики напряжений в области заделки, а на рис. 21 графики перемещений на свободном конце консоли для степенной модели при фиксированном значении параметра $k=17$ и при различных значениях параметра α . Аналогичным будет влияние параметра k при фиксированном значении параметра α . По итогам экспериментов, результаты которых приведены на рис. 18-19, можем заключить, что численно продемонстрирован эффект перестройки волновых полей граничных и внутренних перемещений и напряжений, когда свойства вязкоупругого материала изменялись с мгновенных модулей на длительные. В откликах перемещений изменялись (увеличивались) амплитуда и период искомой функции.

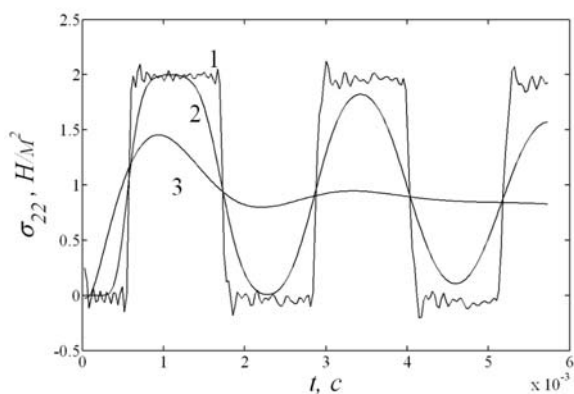


Рис. 16. 1 – упругое ГЭ-решение, ГЭ-решение для модели Кельвина-Фойгта 2 – $\beta = 100$, 3 – $\beta = 10$.

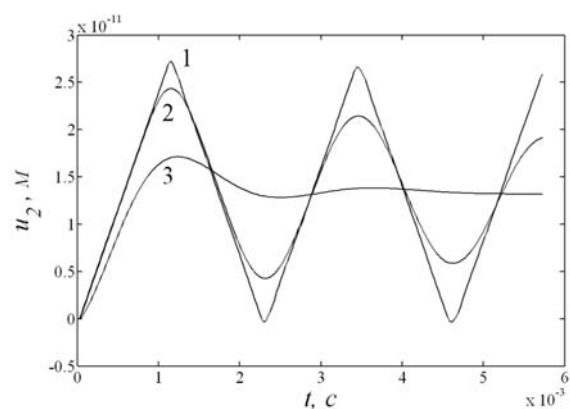


Рис. 17. 1 – упругое ГЭ-решение, ГЭ-решение для модели Кельвина-Фойгта 2 – $\beta = 100$, 3 – $\beta = 10$.

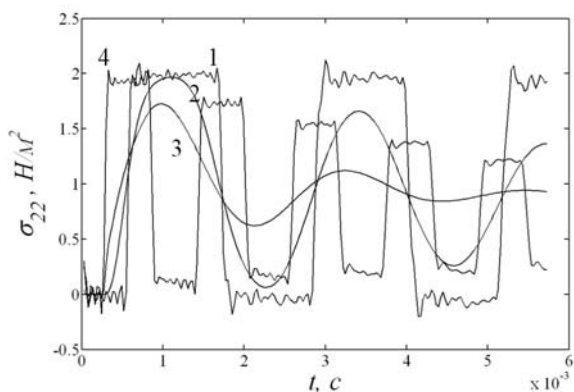


Рис. 18. 1 – упругое ГЭ-решение, ГЭ-решение для модели стандартного вязкоупругого тела 2 – $\gamma = 200$, 3 – $\gamma = 50$, 4 – $\gamma = 1$.

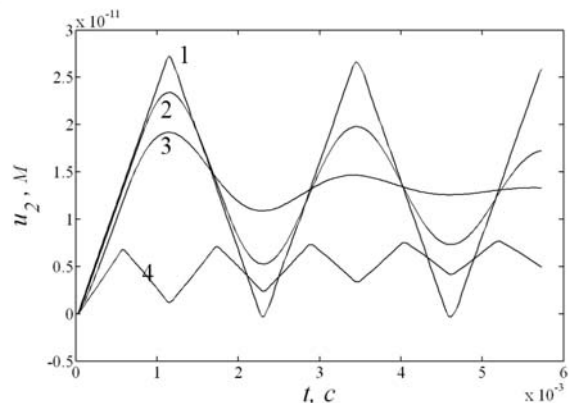


Рис. 19. 1 – упругое ГЭ-решение, ГЭ-решение для модели стандартного вязкоупругого тела 2 – $\gamma = 200$, 3 – $\gamma = 50$, 4 – $\gamma = 1$.

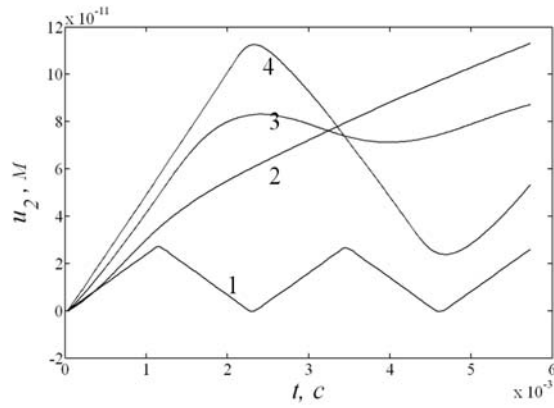


Рис. 20. 1(—) – упругое ГЭ-решение, ГЭ-решение для степенной модели при постоянном $k = 17$ 2(•••••) – $\alpha = 0,3$; 3(-•-•-) – $\alpha = 0,7$; 4(-----) – $\alpha = 0,95$.

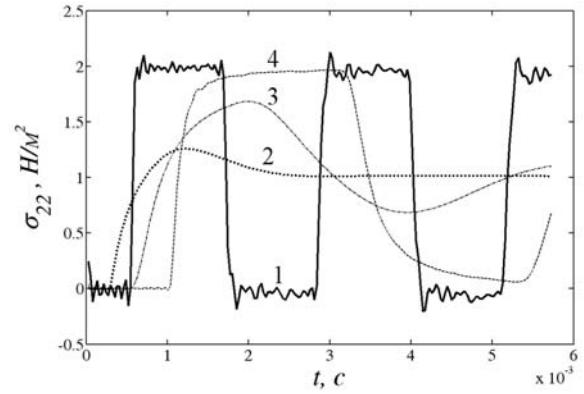


Рис. 21. 1(—) – упругое ГЭ-решение, ГЭ-решение для степенной модели при постоянном $k = 17$ 2(•••••) – $\alpha = 0,3$; 3(-•-•-) – $\alpha = 0,7$; 4(-----) – $\alpha = 0,95$.

Задача о действии вертикальной силы на поверхность упругого полупространства

Рассмотрим задачу о действии вертикальной силы $P(t) = P_0 f(t)$, $P_0 = 1000 \text{ Н/м}^2$ на поверхность полупространства (рис. 22).

Параметры материала: $E = 2,5 \cdot 10^8 \text{ Н/м}^2$; $\nu = 0,298$; $\rho = 1884 \text{ кг/м}^3$ ($c_1 = 425 \text{ м/с}$; $c_2 = 228 \text{ м/с}$, $c_R = 211 \text{ м/с}$). Исследуется точка А полупространства на расстоянии 15м от источника силы.

Рассматриваются два варианта нагружения $f(t) = H(t)$ и $f(t) = H(t) - H(t - 0,05)$. Гранично-элементная сетка строится с учетом двух плоскостей симметрии и содержит 864 элемента и 913 точек (на четверти сетки). Геометрическая модель исследуемой задачи показана на рис. 23.

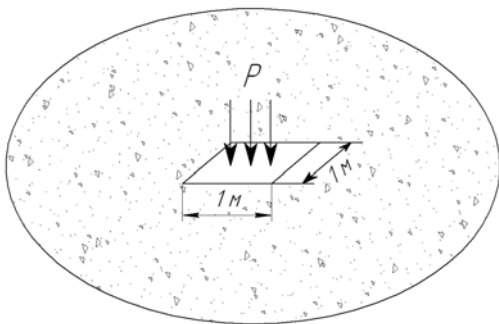


Рис. 22.

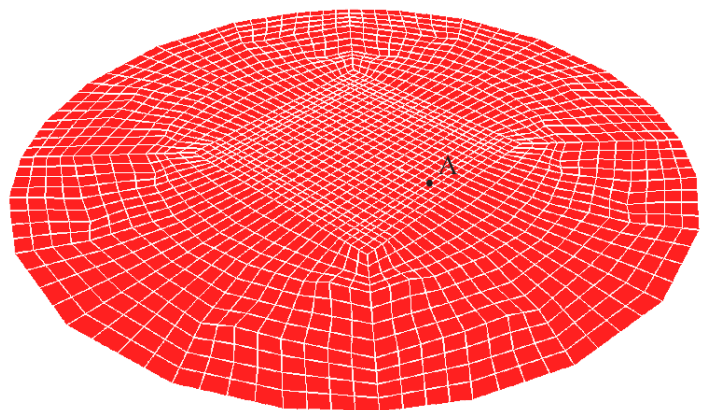


Рис. 23.

Для случая нагрузки $f(t) = H(t)$ на рис. 24 дано сравнение численных результатов, полученных методами квадратур свертки и Дурбина с численным решением из [3]. При

решении в [3] использовалась изопараметрическая ГЭ-схема с раскрытием сингулярности на основе подхода из [9].

Для случая нагрузки $f(t) = H(t) - H(t - 0,05)$ на рис. 25 дано сравнение численных результатов, полученных методами квадратур сверток и Дурбина.

Проведенное исследование показало, что созданные ГЭ-схемы на основе метода Дурбина и метода квадратур сверток дают близкие результаты. Сравнение с ГЭ-результатом из научной литературы позволяет остановиться на выборе ГЭ-схемы для подобных задач и утверждать, что ГЭ-решение из [3] дает заниженный результат по амплитуде волны Рэлея, а также завышенный нефизичный результат по падению амплитуды сразу за фронтом волны Рэлея.

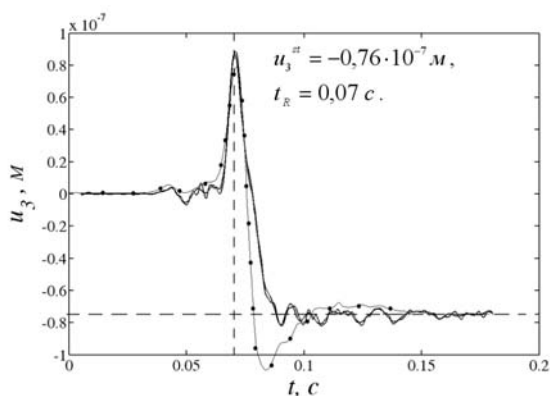


Рис. 24. Сравнение ГЭ-решения
—●— Schanz [3], — ГЭ-решение по
методам Дурбина и квадратур сверток
(полное совпадение).

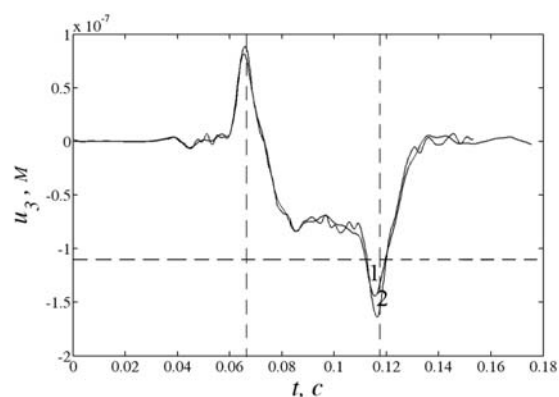


Рис. 25.
1 – метод Дурбина, 2 – метод квадратур
сверток.

Задача о действии вертикальной силы на поверхность вязкоупругого полупространства

Рассмотрим решение задачи при действии нагрузки $P(t) = P_0(H(t) - H(t - 0,0085))$, где $P_0 = 1 \text{ Н/м}^2$ и параметрами материала: $E = 1,38 \cdot 10^8 \text{ Н/м}^2$; $\nu = 0,35$; $\rho = 1966 \text{ кг/м}^3$ ($c_1 = 335,64 \text{ м/с}$; $c_2 = 161,24 \text{ м/с}$, $c_R = 150,5 \text{ м/с}$). В качестве точки наблюдения возьмем точку $(2,3333; 2,3333; 0)$.

На рис. 26 приведены численные результаты для модели Кельвина-Фойгта ($\lambda(\infty) = \lambda, \mu(\infty) = \mu$) при разных значениях параметра вязкости β (кривая 1 соответствует упругому случаю, кривая 2 – $\beta = 100$; 3 – $\beta = 1$; 4 – $\beta = 0,1$; 5 – $\beta = 0,01$).

На рис. 27 приведены численные результаты для модели стандартного вязкоупругого тела при разных ($\mu(\infty) = \mu, \lambda(\infty) = \lambda, \lambda(\infty)/\lambda(0) = \mu(\infty)/\mu(0) = 0,0625$) значениях параметра

вязкости γ (кривая 1 соответствует упругому случаю, кривая 2 – $\gamma = 100$; 3 – $\gamma = 1$; 4 – $\gamma = 0,1$; 5 – $\gamma = 0,01$).

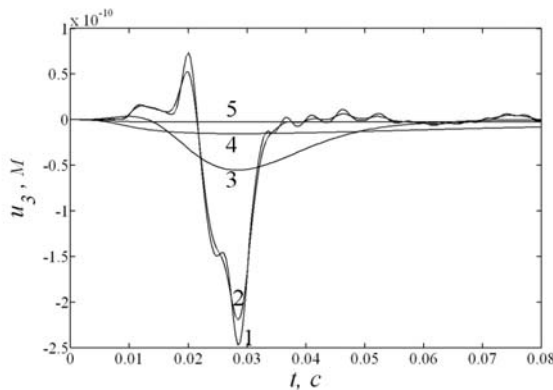


Рис. 26.

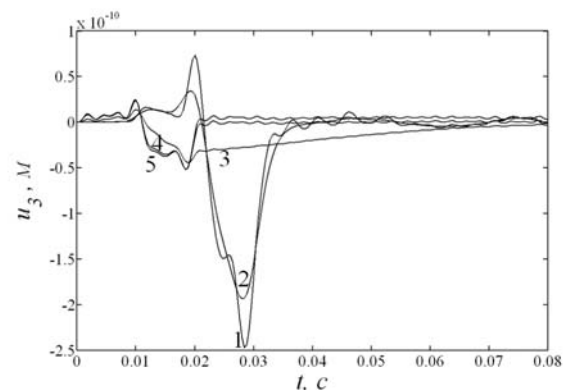


Рис. 27.

На рис. 28, 29 приведены численные результаты для степенной модели при разных значениях параметра вязкости k и α (на рис. 28 кривая 1 соответствует упругому случаю, кривая 2 – $k = 5$, $\alpha = 0,95$; 3 – $k = 10$, $\alpha = 0,95$; 4 – $k = 15$, $\alpha = 0,95$; на рис. 29 кривая 1 соответствует упругому случаю, кривая 2 – $k = 5$, $\alpha = 0,5$; 3 – $k = 5$, $\alpha = 0,7$; 4 – $k = 5$, $\alpha = 0,95$).

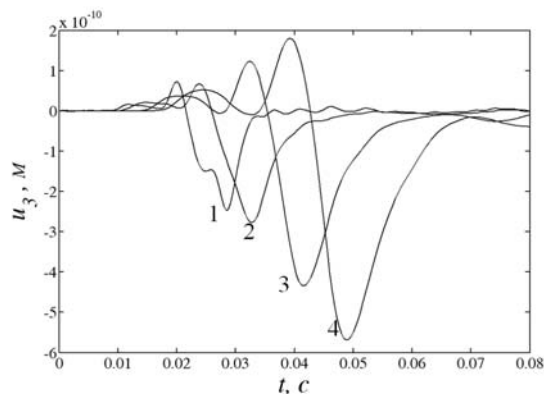


Рис. 28.

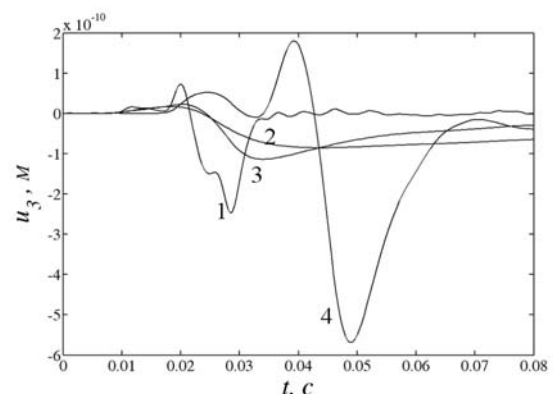


Рис. 29.

Численные ГЭ-эксперименты показали, что если для хевисайдовской нагрузки максимум в отклике перемещений приходится на волну Рэлея, соответствующую скачку подъема силы в начальный момент времени, то для нагрузки вида разности хевисайдовских сил максимум в отклике перемещений приходится на волну Рэлея, соответствующую скачку падения силы в момент $t = \alpha$. Разница величин амплитуд соответствует величине отклика на постоянную (статическую) часть отклика. Проведены исследования влияния длины импульса нагрузки и вязкости материала на характер поведения отклика перемещений. Использование модели Кельвина-Фойгта может существенно изменить отклик поверхностных волн, однако

имеются диапазоны характерных времен ползучести и релаксации, когда изменения в отклике проявляется лишь в уменьшении амплитуды. Использование модели стандартного вязкоупругого тела и слабосингулярного ядра приводит к изменению скорости отклика перемещений и амплитуды.

Задача о действии вертикальной силы на поверхность полупространства с полостью

Рассматриваются два варианта полости – сферическая и кубическая. В качестве действующей силы рассматривается вертикальная сила $P(t) = P_0 f(t)$ на площади $S = 1 \text{ м}^2$ дневной поверхности полупространства. Внутри полупространства на глубине $h = 7,5 \text{ м}$ (центр полости) расположена сферическая полость радиуса $R = 5 \text{ м}$ (рис. 30). Исследуются перемещения на поверхности полупространства на расстоянии 15 м от границы действия силы.

Гранично-элементная сетка строится с учетом двух плоскостей симметрии. Четверть сетки содержит для полупространства – 864 элемента и 913 точек, для полости – 150 элементов и 171 точку рис. 30.

Рассматривается задача, когда на глубине $h = 7,5 \text{ м}$ (центр куба) расположена кубическая полость с длиной ребра 10 м (рис. 31).

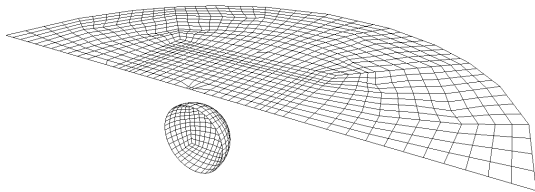


Рис. 30.

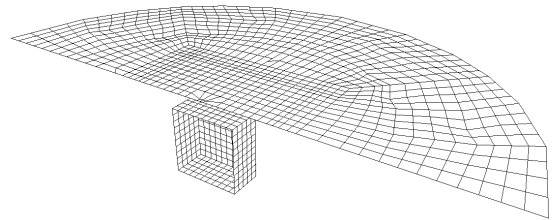


Рис. 31.

Параметры материала выбраны следующими: $E = 2,5 \cdot 10^8 \text{ Н/м}^2$; $\nu = 0,298$; $\rho = 1884 \text{ кг/м}^3$ ($c_1 = 425 \text{ м/с}$; $c_2 = 228 \text{ м/с}$). Рассматриваются два варианта нагружения $P(t) = P_0 f(t)$, $f(t) = H(t)$ и $f(t) = H(t) - H(t - 0,05)$, при $P_0 = 1 \text{ Н/м}^2$.

На рис. 32, 33 приведены графики перемещений во времени, полученные на основе метода Дурбина при нагружении $f(t) = H(t)$ и $f(t) = H(t) - H(t - 0,05)$ соответственно, причем кривая 1 – решение задачи для полупространства без полости, кривая 2 – решение задачи со сферической полостью и кривая 3 – решение задачи с кубической полостью.

На рис. 34 приведено исследование перемещений для полупространства со сферической полостью, при удалении от источника нагрузки при нагружении $f(t) = H(t)$. Кривая 1 соответствует удалению 15 м , кривая 2 – 19 м , кривая 3 – $21,25 \text{ м}$, кривая 4 – $23,5 \text{ м}$.

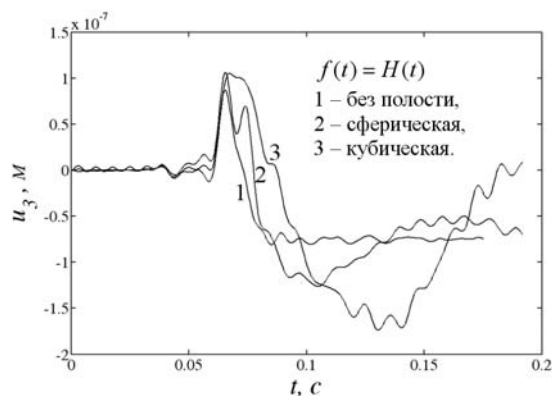


Рис. 32.

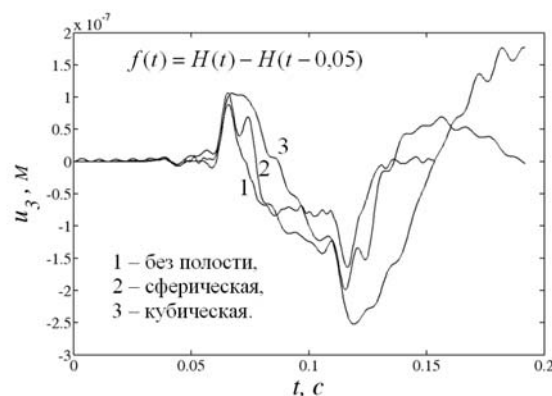


Рис. 33.

На рис. 35 приведено исследование перемещений для полупространства с кубической полостью при удалении от источника нагрузки при нагружении $f(t) = H(t)$. Кривая 1 соответствует удалению 15м, кривая 2 – 19м, кривая 3 – 21,25м, кривая 4 – 23,5м, кривая 5 – 25,5м, кривая 6 – 27,5м.

Из графиков видно, что для сферической и кубической полостей форма отклика в сравнении с задачей для полупространства поменялась. Форма полости влияет на форму отклика: для задачи со сферической полостью проявилось два горба в момент прихода поверхностной волны, а для кубической полости проявился временной промежуток с постоянными перемещения.

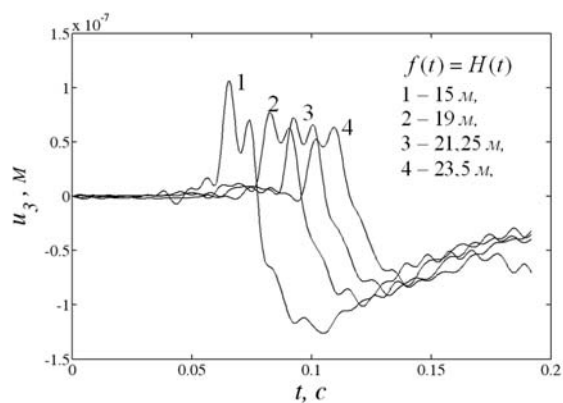


Рис. 34.

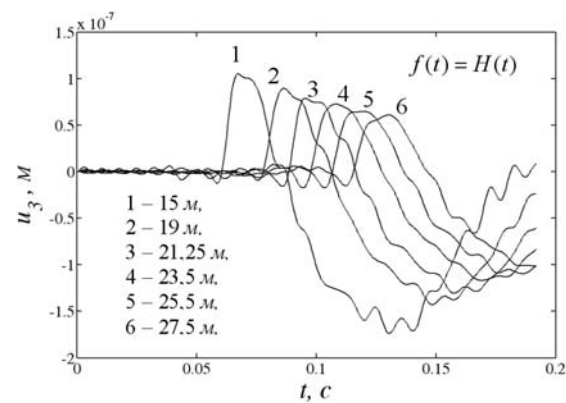


Рис. 35.

Задача о штампе на полупространстве

Рассмотрим задачу о действии вертикальной силы на деформируемый штамп (параметры материала: $E = 3 \cdot 10^8 \text{ Н/м}^2$, $\nu = 0,2$, $\rho = 2000 \text{ кг/м}^3$) в форме параллелепипеда ($2 \times 2 \times 1 \text{ м}$), расположенный на деформируемом полупространстве (параметры материала: $E = 1,38 \cdot 10^8 \text{ Н/м}^2$, $\nu = 0,35$, $\rho = 1966 \text{ кг/м}^3$). Расчеты проводились для нескольких ГЭ-

сеток, сведения о которых приведены в таблице. Сетка №1 приведена на рис. 36, сетка №4 – на рис. 37.

Таблица

Номер сетки	Кол-во элементов	
	Штамп	Полупространство
1	54	90
2	216	360
3	96	864
4	384	3456

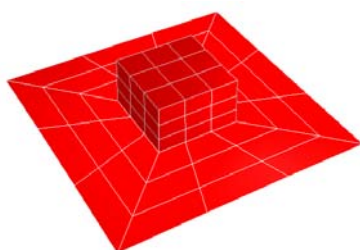


Рис. 36.

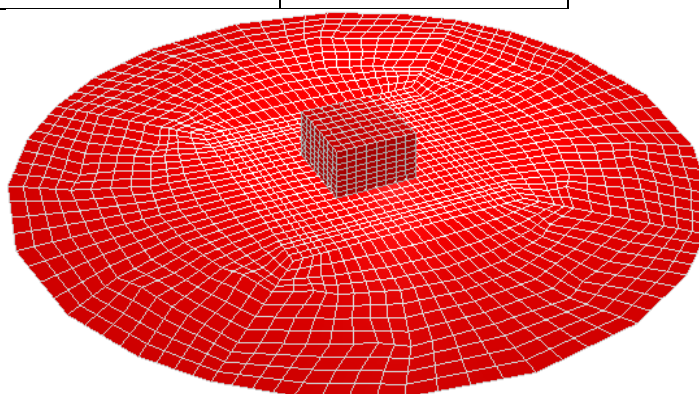


Рис. 37.

Параметры свойств материалов приведены в таблице 1. Рассмотрим случай нагружения $P(t) = P_0(H(t) - H(t - 0,0085))$; $P_0 = 1 \text{ Н} / \text{м}^2$. Задача решается в безразмерных величинах.

В качестве координат исследуемой точки взяты $(2,33; 2,33; 0)$. За начало координат выбран центр контактной грани штампа.

На рис. 38 приведены результаты расчетов для упругого случая, выполненные для сетки 1, причем кривая 1 соответствует расчетам по методу квадратур сверток, кривая 2 – по методу Дурбина, кривая 3 – ГЭ-решение из [10]. Исследовалась сходимость на выбранных сетках. Установлено, что известное из литературы ГЭ-решение дает завышение амплитуды отклика поверхностной волны.

Влияние вязкоупругих свойств на отклик продемонстрировано на рис. 39-41.

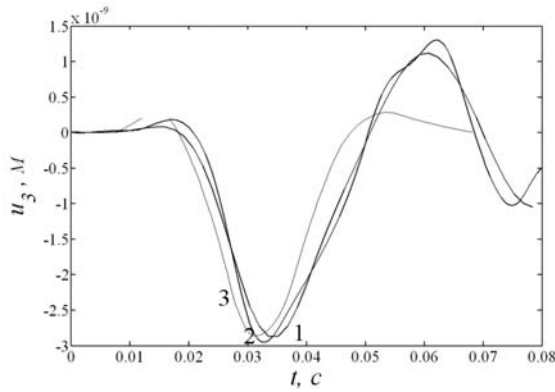


Рис. 38.

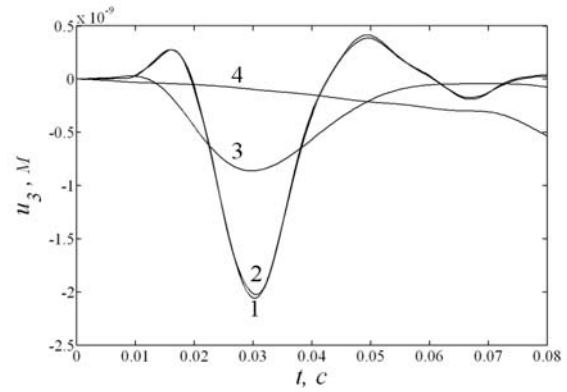


Рис. 39.

1 – упругое ГЭ-решение, модель Кельвина-Фойгта 2 – $\beta = 100$, 3 – $\beta = 1$, 4 – $\beta = 0,01$.

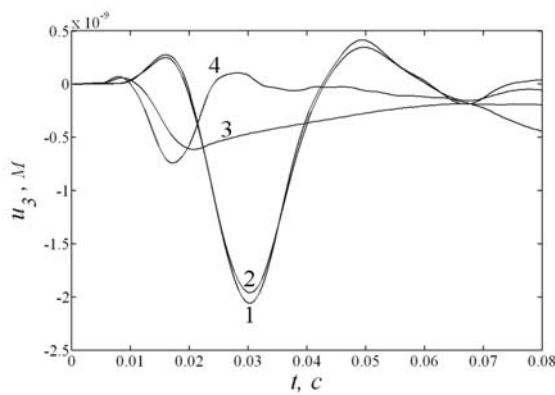


Рис. 40.

1 – упругое ГЭ-решение, модель стандартного вязкоупругого тела 2 – $\gamma = 100$, 3 – $\gamma = 1$, 4 – $\gamma = 0,01$.

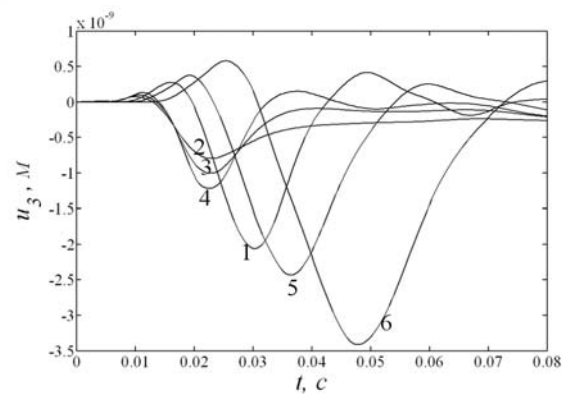


Рис. 41.

1 – упругое ГЭ-решение, степенная модель 2 – $k = 1; \alpha = 0,5$; 3 – $k = 1, \alpha = 0,75$; 4 – $k = 1; \alpha = 0,95$; 5 – $k = 5; \alpha = 0,95$; 6 – $k = 10; \alpha = 0,95$.

Использование модели Кельвина-Фойгта может существенно изменить отклик поверхностных волн, однако имеются диапазоны характерных времен ползучести, когда изменения в отклике проявляются лишь в уменьшении амплитуды. Использование модели стандартного вязкоупругого тела и слабосингулярного ядра приводит к изменению скорости отклика перемещений и амплитуды.

Задача о реакции защитного корпуса атомной станции теплоснабжения на действие ударной силы

Геометрическая модель корпуса атомной станции теплоснабжения и форма нагрузки представлены на рис. 42. Высота корпуса 34,5 м, размеры в плане 15,6×15,6 м, $h_1 = 30,5$ м, $h_2 = 9,3$ м, $h_3 = 4,215$ м, $h_4 = 4,01$ м, $h_5 = 8,445$ м, $h_6 = 2$ м, $h_7 = 2,2$ м, $l_1 = 9,6$ м,

$l_2 = 11,6 м, r_1 = 3,6 м, r_2 = 3,8 м, r_3 = 4,29 м, r_4 = 5,8 м$. Параметры материала – $\rho = 2 \cdot 10^3 кг/м^3$, $\nu = 0,2$, $E = 3 \cdot 10^{10} Н/м^2$ ($c_1 = 4082,5 м/с$, $c_2 = 2041,2 м/с$).

Задача решается в безразмерных величинах: $\bar{x} = x/a$, $\bar{u} = Eu/(p_0 a)$, $\bar{p} = p/p_0$, $\bar{t} = c_2 t/a$, $\bar{\sigma} = \sigma/p_0$, где $a = 25$, $p_0 = 4 \cdot 10^6 Н/м^2$.

Половина ГЭ-сетки АСТ содержит 226 элементов и 257 точек (рис. 43), половина ГЭ-сетки полупространства содержит 940 элементов и 982 точки (рис. 44).

Исследуются вертикальные перемещения в точке В. Численные результаты решаемой задачи (кривая 1, рис. 45) сравниваются с результатами, полученными на модели, у которой полупространство моделируется амортизаторами (кривая 2, рис. 43) [5, 11].

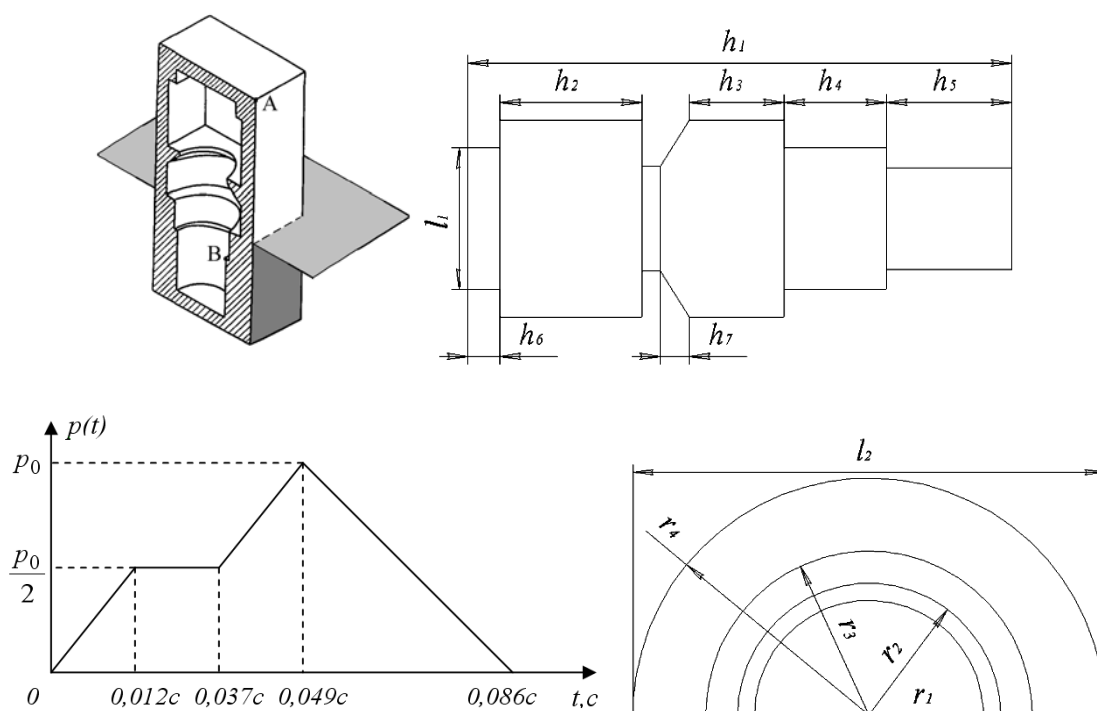


Рис. 42.

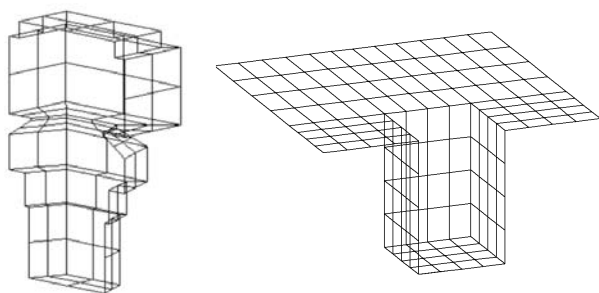


Рис. 43.

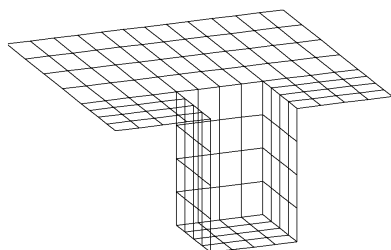


Рис. 44.

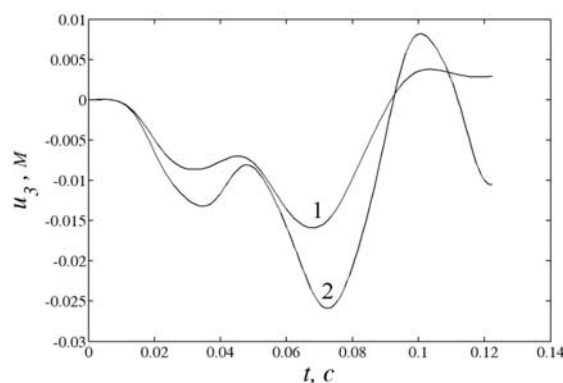


Рис. 45. 1 – с учетом деформаций полупространства, 2 – без учета

деформаций полупространства.

Расчеты продемонстрировали качественное совпадение и количественные отличия в искомым граничных полях.

Библиографический список

1. Biot M. Theory of propagation of elastic waves in a fluid-saturated porous solid. I. Low-frequency range // *J. Acoust. Soc. Am.* – 1956. V. 28, № 2. – P. 168-178.
2. Biot M. Theory of propagation of elastic waves in a fluid-saturated porous solid. II. Higher-frequency range // *J. Acoust. Soc. Am.* – 1956. V. 28, № 2. – P. 179-191.
3. Schanz M. *Wave Propagation in Viscoelastic and Poroelastic Continua* / Berlin Springer, 2001. – 170 p.
4. Manolis G.D., Beskos D.E. Integral Formulation and Fundamental Solutions of Dynamic Poroelasticity and Thermoelasticity // *Ada Mechanica*. 1989. № 76. P. 89-104.
5. Баженов В.Г., Игумнов Л.А. Методы граничных интегральных уравнений и граничных элементов в решении задач трехмерной динамической теории упругости с сопряженными полями. М.: Физматлит, 2008. – 352 с.
6. Локшин А.А., Суворова Ю.В. Математическая теория распространения волн в средах с памятью // Москва. – Изд-во МГУ. – 1982. – С. 152.
7. Durbin F. Numerical inversion of Laplace transforms: an efficient improvement to Dubner and Abate's method // *The Computer Journal*. – 1974. – Vol.17, 4. – P. 371-376.
8. Аменицкий А.В., Васильев А.Н., Игумнов Л.А., Карелин И.С. Граничные интегральные уравнения для решения динамических задач трехмерной теории пороупругости // Н.Новгород: Изд-во ННГУ. Проблемы прочности и пластичности. Межвуз. Сборник, 2009. – Вып. 71.,. – С. 164-171.
9. Birgisson B., Siebrits E., Peirce A.P. Elastodynamic direct boundary element methods with Enhanced numerical stability properties // *International journal for numerical methods in engineering*. – 1999. – Vol. 46. – P. 871-888.
10. Gaul L. [et al.] *Boundary Element Methods for the Dynamic Analysis of Elastic, Viscoelastic, and Piezoelectric Solids* // *Encyclopedia of Computational Mechanics*: Edited by E. Stein, R. de Borst and Thomas J. R. Hughes. Solids and Structures. – Jhon Wiley & Sons, Ltd., 2004. – Vol. 2. – P. 751-769.

11. Хуторянский Н.М. Метод гранично–временных элементов в пространственных задачах нестационарной динамики упругих и вязкоупругих тел: автореф. дисс...доктора техн. наук: 01.02.04 / Хуторянский Наум Маркович. – Рига, 1988. – 32с.

Рекомендовано к публикации программным комитетом XVI Международного симпозиума «Динамические и технологические проблемы механики конструкций и сплошных сред» им. А.Г. Горшкова.

Сведения об авторах

Александр Александрович Белов Александр, научный сотрудник НИИ механики Нижегородского государственного университета им. Н.И. Лобачевского, к.ф.-м.н., тел. (831)465-76-55, e-mail: belov_a2@mch.unn.ru

Леонид Александрович Игумнов, директор НИИ механики Нижегородского государственного университета им. Н.И. Лобачевского, д.ф.-м.н., тел. (831)465-76-55, e-mail: igumnov@mch.unn.ru

Иван Сергеевич Карелин, младший научный сотрудник НИИ механики Нижегородского государственного университета им. Н.И. Лобачевского, тел. (831)465-76-55, e-mail: igumnov@mch.unn.ru

Светлана Юрьевна Литвинчук, ученый секретарь НИИ механики Нижегородского государственного университета им. Н.И. Лобачевского, к.ф.-м.н., тел. (831)465-76-55, e-mail: litvinchuk@mch.unn.ru